

# GEOMETRICKÉ CHARAKTERISTIKY PRŮŘEZŮ

*Autoři: F. Plánička, M. Zajíček, V. Adámek*

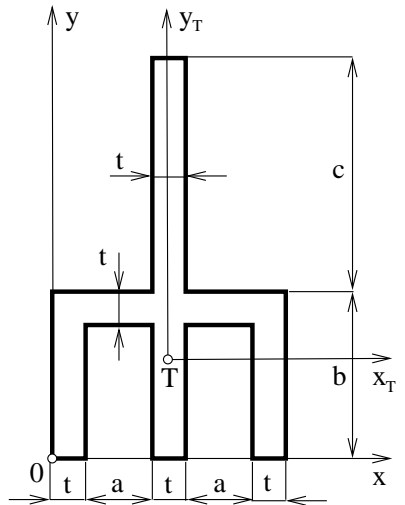
## 2.3 Řešené příklady

### Příklad 1:

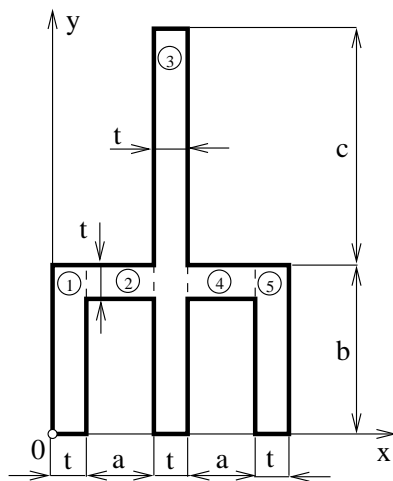
Vypočtěte kvadratické a deviační momenty k osám znázorněným na obr. 1, je-li dán:  $t = 10 \text{ mm}$ ,  $a = 20 \text{ mm}$ ,  $b = 50 \text{ mm}$ ,  $c = 60 \text{ mm}$ .

### Řešení:

Nejprve vypočteme kvadratické momenty a deviační moment k souřadnicovým osám  $x$  a  $y$ , tj.  $J_x$ ,  $J_y$  a  $D_{xy}$ . Existuje více způsobů, jak tyto geometrické charakteristiky stanovit, avšak všechny vycházejí ze stejného principu: kvadratické a deviační momenty složeného průřezu k daným osám lze stanovit jako součet kvadratických (deviačních) momentů, dílčích ploch, ze kterých se tento průřez skládá, k daným osám. Je zřejmé, že zadáný průřez lze snadno rozdělit na jednotlivé obdélníky. Způsobů rozdělení, jakožto i postupu výpočtů, je celá řada. V tomto příkladě se zaměříme pouze na dva.



Obr. 1



Obr. 2

**Postup 1:** Rozdělíme průřez myšlenými řezy, např. podle obr. 2 na obdélníky 1 - 5 a příslušné geometrické charakteristiky celého průřezu stanovíme na základě znalosti geometrických charakteristik dílčích obdélníků k jejich těžištěm osám a přímou aplikací Steinerovy věty. Pro výsledný kvadratický moment k ose  $x$  potom můžeme psát

$$\begin{aligned}
 J_x &= \underbrace{\frac{1}{12} tb^3 + \left(\frac{b}{2}\right)^2 tb}_{J_x^{(1)}} + \underbrace{\frac{1}{12} at^3 + \left(b - \frac{t}{2}\right)^2 at}_{J_x^{(2)}} + \\
 &\quad + \underbrace{\frac{1}{12} t(b+c)^3 + \left(\frac{b+c}{2}\right)^2 (b+c)t}_{J_x^{(3)}} + \\
 &\quad + \underbrace{\frac{1}{12} at^3 + \left(b - \frac{t}{2}\right)^2 at}_{J_x^{(4)}} + \underbrace{\frac{1}{12} tb^3 + \left(\frac{b}{2}\right)^2 tb}_{J_x^{(5)}}. \quad (1)
 \end{aligned}$$

Je zřejmé, že platí:

$$J_x^{(1)} = J_x^{(2)} = \frac{1}{3} tb^3, \quad J_x^{(4)} = J_x^{(5)} \quad \text{a} \quad J_x^{(3)} = \frac{1}{3} t(b+c)^3. \quad (2)$$

# GEOMETRICKÉ CHARAKTERISTIKY PRŮŘEZŮ

*Autoři: F. Plánička, M. Zajíček, V. Adámek*

Pomocí vztahů (2) lze vztah (1) přepsat do výsledného tvaru

$$J_x = \frac{2}{3} tb^3 + \frac{1}{3} t (b+c)^3 + 2 \left[ \frac{1}{12} at^3 + \left( b - \frac{t}{2} \right)^2 at \right]. \quad (3)$$

Po dosazení zadaných hodnot dostáváme  $J_x \doteq 608.33 \cdot 10^4 \text{ mm}^4$ .

Kvadratický moment  $J_y$  stanovíme podle obr. 1 analogickým postupem. Platí

$$\begin{aligned} J_y &= \underbrace{\frac{1}{12} bt^3 + \left( \frac{t}{2} \right)^2 bt}_{J_y^{(1)}} + \underbrace{\frac{1}{12} ta^3 + \left( t + \frac{a}{2} \right)^2 at}_{J_y^{(2)}} + \underbrace{\frac{1}{12} (b+c)t^3 + \left( t + a + \frac{t}{2} \right)^2 (b+c)t}_{J_y^{(3)}} + \\ &+ \underbrace{\frac{1}{12} ta^3 + \left( t + a + t + \frac{a}{2} \right)^2 at}_{J_y^{(4)}} + \underbrace{\frac{1}{12} bt^3 + \left( t + a + t + a + \frac{t}{2} \right)^2 bt}_{J_y^{(5)}}. \end{aligned} \quad (4)$$

Po úpravě lze (4) přepsat do tvaru

$$\begin{aligned} J_y &= \frac{1}{6} bt^3 + bt \left[ \left( \frac{t}{2} \right)^2 + \left( \frac{5}{2}t + 2a \right)^2 \right] + \frac{1}{6} ta^3 + at \left[ \left( t + \frac{a}{2} \right)^2 + \left( 2t + \frac{3}{2}a \right)^2 \right] + \\ &+ \frac{1}{12} (b+c)t^3 + \left( \frac{3}{2}t + a \right)^2 (b+c)t. \end{aligned} \quad (5)$$

Po dosazení zadaných hodnot dostáváme  $J_y \doteq 408.33 \cdot 10^4 \text{ mm}^4$ .

Při stanovení  $D_{xy}$  s výhodou využijeme toho, že deviační moment plochy k souřadnému systému, jehož aspoň jedna osa je osou symetrie plochy, je roven 0. Potom

$$\begin{aligned} D_{xy} &= 0 + \underbrace{\frac{t}{2} \frac{b}{2} bt}_{D_{xy}^{(1)}} + \underbrace{0 + \left( t + \frac{a}{2} \right) \left( b - \frac{t}{2} \right) at}_{D_{xy}^{(2)}} + \underbrace{0 + \left( t + a + \frac{t}{2} \right) \left( \frac{b+c}{2} \right) t(b+c)}_{D_{xy}^{(3)}} + \\ &+ \underbrace{0 + \left( t + a + t + \frac{a}{2} \right) \left( b - \frac{t}{2} \right) at}_{D_{xy}^{(4)}} + \underbrace{0 + \left( t + a + t + a + \frac{t}{2} \right) \left( \frac{b}{2} \right) bt}_{D_{xy}^{(5)}}, \end{aligned} \quad (6)$$

což lze po úpravě přepsat do tvaru

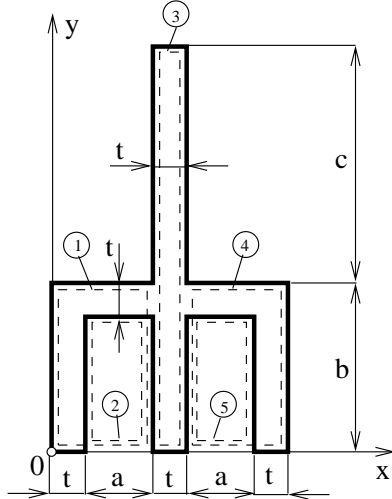
$$\begin{aligned} D_{xy} &= bt \left[ \frac{bt}{4} + \left( \frac{5}{2}t + 2a \right) \frac{b}{2} \right] + at \left[ \left( t + \frac{a}{2} \right) \left( b - \frac{t}{2} \right) + \left( 2t + \frac{3}{2}a \right) \left( b - \frac{t}{2} \right) \right] + \\ &+ \frac{(b+c)^2}{2} t \left( \frac{3}{2}t + a \right). \end{aligned} \quad (7)$$

Po dosazení zadaných hodnot dostáváme  $D_{xy} = 362.25 \cdot 10^4 \text{ mm}^4$ .

## GEOMETRICKÉ CHARAKTERISTIKY PRŮŘEZŮ

Autoři: F. Plánička, M. Zajíček, V. Adámek

**Postup 2:** Průřez rozdělíme myšlenými řezy na jednotlivé obdélníky tak, aby byly osy  $x$  a  $y$  totožné s příslušnými stranami obdélníků, nebo s nimi byly rovnoběžné a procházely jejich těžiště, a mohli jsme tak přímo využít obecně platné vztahy



Obr. 3

$$J = \frac{1}{3}bh^3, \quad J = \frac{1}{12}bh^3 \quad \text{a} \quad D = \frac{b^2h^2}{4},$$

kde  $b$  a  $h$  představují strany obdélníka.

Za účelem stanovení  $J_x$  je vhodné rozdělit zadáný průřez na dílčí obdélníky, např. podle obr. 3. Potom můžeme psát

$$J_x = J_x^{\oplus} - J_x^{\ominus} + J_x^{\odot} + J_x^{\circledast} - J_x^{\circledcirc}. \quad (8)$$

Vzhledem k tomu, že

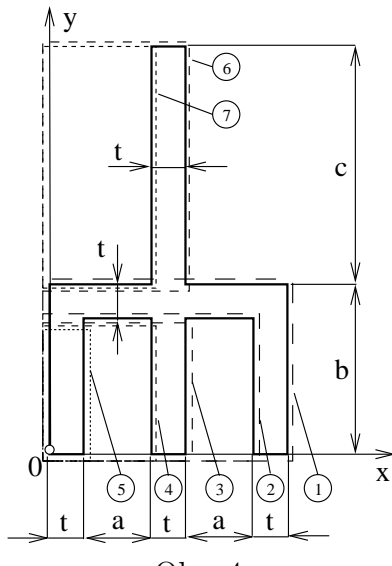
$$J_x^{\oplus} = J_x^{\circledast} \quad \text{a} \quad J_x^{\ominus} = J_x^{\circledcirc},$$

lze (8) přepsat do tvaru

$$J_x = J_x^{\odot} + 2(J_x^{\oplus} - J_x^{\ominus}) = \frac{1}{3}t(b+c)^3 + 2\left[\frac{1}{3}(a+t)b^3 - \frac{1}{3}a(b-t)^3\right]. \quad (9)$$

Po dosazení zadaných hodnot dostáváme  $J_x \doteq 608.33 \cdot 10^4 \text{ mm}^4$  stejně jako v případě prvního postupu a vztahu (3).

V případě výpočtu  $J_y$  rozdělme průřez např. podle obr. 4. Potom lze pro  $J_y$  psát



Obr. 4

$$\begin{aligned} J_y &= J_y^{\oplus} - J_y^{\ominus} + J_y^{\odot} - J_y^{\circledast} + J_y^{\odot} + J_y^{\circledast} - J_y^{\circledcirc} = \\ &= \frac{1}{3}b(3t+2a)^3 - \frac{1}{3}(b-t)(2t+2a)^3 + \\ &+ \frac{1}{3}(b-t)(2t+a)^3 - \frac{1}{3}(b-t)(t+a)^3 + \\ &+ \frac{1}{3}(b-t)t^3 + \frac{1}{3}c(2t+a)^3 - \frac{1}{3}c(a+t)^3. \end{aligned} \quad (10)$$

Po úpravě a dosazení zadaných hodnot zjistíme, že kvadratický moment  $J_y \doteq 408.33 \cdot 10^4 \text{ mm}^4$ , porovnej s výsledkem dle vztahu (5).

Deviační moment  $D_{xy}$  by bylo možné stanovit analogickým postupem, avšak jak již napovídá výpočet  $J_y$ , není tento postup příliš vhodný, neboť by bylo nutné sestavit původní průřez z ještě většího počtu obdélníků, jejichž strany leží na ose  $x$  a  $y$ .

Z výše uvedených výpočtů vyplývá, že postup 2 je v některých případech snažší a méně náročný (viz stanovení  $J_x$ ), avšak mnohdy vede na příliš velký počet dílčích obdélníků, na

## GEOMETRICKÉ CHARAKTERISTIKY PRŮŘEZŮ

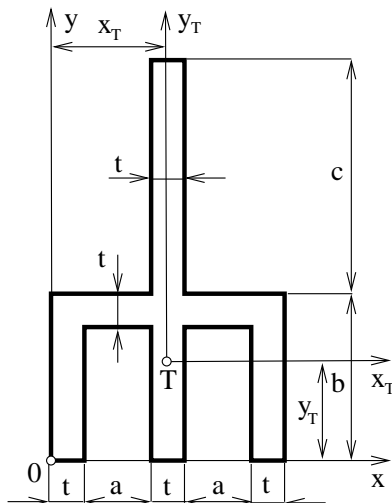
*Autoři: F. Plánička, M. Zajíček, V. Adámek*

které je nutné průřez rozdělit (viz stanovení  $J_y$ ). Postup 1 se na první pohled zdá složitější, nicméně lze říci, že je univerzálnější.

Nyní se zaměříme na stanovení  $J_{x_T}$ ,  $J_{y_T}$  a  $D_{x_T y_T}$ . K tomu, abychom mohli tyto hodnoty vypočítat, je nejprve nutné určit polohu těžiště. Nechť je poloha těžiště  $T$  zadaného průřezu v systému  $x y$  dána souřadnicemi  $T = [x_T, z_T]$  (viz obr. 5). Díky symetrii průřezu vzhledem k ose  $y_T$  je zřejmé, že

$$x_T = a + \frac{3}{2}t \quad (11)$$

a po dosazení  $x_T = 35$  mm. Souřadnici  $y_T$  stanovíme pomocí lineárních (statických) momentů jednotlivých částí průřezu k ose  $x$  a pomocí celkové plochy průřezu  $A$ . Využijeme-li např. rozdělení průřezu znázorněné na obr. 2, můžeme psát



Obr. 5

$$y_T = \frac{S_x^{\oplus} + S_x^{\ominus} + S_x^{\circ} + S_x^{\bullet} + S_x^{\circ\bullet}}{A} \quad (12)$$

Je zřejmé, že  $S_x^{\oplus} = S_x^{\ominus}$  a  $S_x^{\circ} = S_x^{\bullet}$ . Potom lze (12) přepsat do tvaru

$$\begin{aligned} y_T &= \frac{2(S_x^{\oplus} + S_x^{\ominus}) + S_x^{\circ}}{A} = \\ &= \frac{2 \left[ \frac{b}{2}tb + \left( b - \frac{t}{2} \right)at \right] + \frac{b+c}{2}t(b+c)}{3tb + 2at + tc} = \\ &= \frac{b^2 + (2b-t)a + \frac{1}{2}(b+c)^2}{3b + 2a + c}. \end{aligned} \quad (13)$$

Dosazením do (13) dostaváme  $y_T = 41.4$  mm.

Nyní již tedy známe polohu těžiště  $T$  a můžeme přistoupit ke stanovení centrálních kvadratických charakteristik průřezu  $J_{x_T}$ ,  $J_{y_T}$  a  $D_{x_T y_T}$ <sup>1</sup>. Opět uvedeme pouze dva z možných postupů.

**Postup 1:** Využijeme znalosti hodnot  $J_x$ ,  $J_y$  a  $D_{xy}$  a přímou aplikací Steinerovy věty určíme hledané geometrické charakteristiky. Lze tedy psát (viz obr. 5)

$$J_{x_T} = J_x - y_T^2 A, \quad J_{y_T} = J_y - x_T^2 A \quad \text{a} \quad D_{x_T y_T} = D_{xy} - x_T y_T A. \quad (14)$$

Po dosazení do (14) již dříve vypočtených hodnot kvadratických momentů a polohy těžiště, přičemž plocha  $A = t(3b+2a+c) = 2.5 \cdot 10^3$  mm<sup>2</sup>, rovnou dostaváme  $J_{x_T} \doteq 179.84 \cdot 10^4$  mm<sup>4</sup>,  $J_{y_T} \doteq 102.08 \cdot 10^4$  mm<sup>4</sup> a  $D_{x_T y_T} = 0$ .

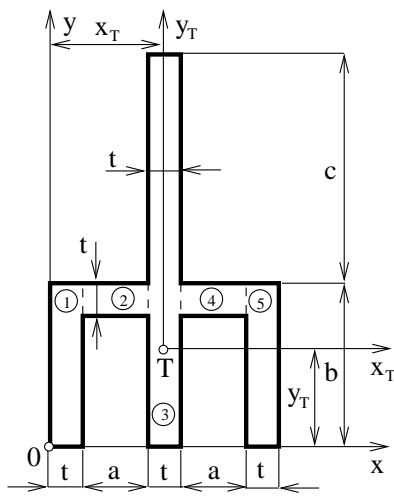
**Postup 2:** Tento způsob je založen na stejném principu jako první postup v případě určení  $J_x$ ,  $J_y$  a  $D_{xy}$ . Liší se pouze tím, že nyní použijeme Steinerovu větu přímo pro přepočet centrálních kvadratických a deviačních momentů dílčích obdélníků k osám  $x_T$  a  $y_T$  a ne k osám  $x$  a  $y$ , tj. při tomto postupu budeme využívat vzdálenosti těžištních os dílčích obdélníků od těžištních os celého průřezu.

<sup>1</sup>Je zřejmé, že  $D_{x_T y_T} = 0$ , neboť osa  $y_T$  je osou symetrie průřezu. Pro názornost však v dalším budeme počítat i tuto hodnotu, jakoby se jednalo o nesymetrický průřez.

## GEOMETRICKÉ CHARAKTERISTIKY PRŮŘEZŮ

*Autoři: F. Plánička, M. Zajíček, V. Adámek*

Opět provedeme rozdělení průřezu na dílčí obdélníky, např. podle obr. 6. Potom pro kvadratický moment  $J_{x_T}$  platí:



Obr. 6

$$J_{x_T} = J_{x_T}^{\circledcirc} + J_{x_T}^{\circledcirc\circ} + J_{x_T}^{\circledcirc\circ\circ} + J_{x_T}^{\circledcirc\circ\circ\circ} + J_{x_T}^{\circledcirc\circ\circ\circ\circ}. \quad (15)$$

Je zřejmé, že  $J_{x_T}^{\circledcirc} = J_{x_T}^{\circledcirc\circ\circ\circ\circ}$  a  $J_{x_T}^{\circledcirc\circ} = J_{x_T}^{\circledcirc\circ\circ\circ}$ . Potom lze vztah (15) přepsat do tvaru

$$\begin{aligned} J_{x_T} &= 2(J_{x_T}^{\circledcirc} + J_{x_T}^{\circledcirc\circ}) + J_{x_T}^{\circledcirc\circ\circ} = \\ &= 2 \left[ \frac{1}{12} tb^3 + \left( \frac{b}{2} - y_T \right)^2 tb + \frac{1}{12} at^3 + \right. \\ &\quad \left. + \left( b - \frac{t}{2} - y_T \right)^2 at \right] + \frac{1}{12} t(b+c)^3 + \\ &\quad + \left( \frac{b+c}{2} - y_T \right)^2 t(b+c). \end{aligned} \quad (16)$$

Vyčíslením vztahu (16) dostáváme  $J_{x_T} \doteq 179.8410^4 \text{ mm}^4$ . Analogický postup využijeme i při výpočtu kvadratického momentu

$$J_{y_T} = J_{y_T}^{\circledcirc} + J_{y_T}^{\circledcirc\circ} + J_{y_T}^{\circledcirc\circ\circ} + J_{y_T}^{\circledcirc\circ\circ\circ} + J_{y_T}^{\circledcirc\circ\circ\circ\circ}. \quad (17)$$

Opět je z obr. 6 zřejmé, že  $J_{y_T}^{\circledcirc} = J_{y_T}^{\circledcirc\circ\circ\circ\circ}$  a  $J_{y_T}^{\circledcirc\circ} = J_{y_T}^{\circledcirc\circ\circ\circ}$ . Můžeme tedy psát

$$\begin{aligned} J_{y_T} &= 2(J_{y_T}^{\circledcirc} + J_{y_T}^{\circledcirc\circ}) + J_{y_T}^{\circledcirc\circ\circ} = 2 \left[ \frac{1}{12} bt^3 + \left( \frac{t}{2} - x_T \right)^2 tb + \frac{1}{12} a^3 + \left( \frac{a}{2} + t - x_T \right)^2 at \right] + \\ &\quad + \frac{1}{12} (b+c)t^3 + 0 t(b+c). \end{aligned} \quad (18)$$

Po dosazení do tohoto vztahu a vyčíslení obdržíme stejný výsledek jako v případě aplikace Steinerovy věty, vztah (14)<sub>2</sub>.

Deviační moment  $D_{x_T y_T}$  je díky symetrii průřezu vzhledem k ose  $y_T$  roven 0 (viz dříve poznámka pod čarou). Tento fakt ověříme následovně:

$$\begin{aligned} D_{x_T y_T} &= D_{x_T y_T}^{\circledcirc} + D_{x_T y_T}^{\circledcirc\circ} + D_{x_T y_T}^{\circledcirc\circ\circ} + D_{x_T y_T}^{\circledcirc\circ\circ\circ} + D_{x_T y_T}^{\circledcirc\circ\circ\circ\circ} = 0 + \left( \frac{b}{2} - y_T \right) \left( \frac{t}{2} - x_T \right) tb + \\ &\quad + 0 + \left( b - \frac{t}{2} - y_T \right) \left( \frac{a}{2} + t - x_T \right) at + 0 + 0 + \left( b - \frac{t}{2} - y_T \right) \left( 2t + \frac{3}{2} a - x_T \right) at + \\ &\quad + 0 + \left( \frac{b}{2} - y_T \right) \left( 2a + \frac{5}{2} t - x_T \right) tb. \end{aligned} \quad (19)$$

Po dosazení příslušných hodnot do (19) dostáváme skutečně  $D_{x_T y_T} = 0$ , neboť platí:  $D_{x_T y_T}^{\circledcirc} = -D_{x_T y_T}^{\circledcirc\circ\circ\circ\circ}$ ,  $D_{x_T y_T}^{\circledcirc\circ} = -D_{x_T y_T}^{\circledcirc\circ\circ\circ}$  a  $D_{x_T y_T}^{\circledcirc\circ\circ} = 0$ .

# GEOMETRICKÉ CHARAKTERISTIKY PRŮŘEZŮ

*Autoři: F. Plánička, M. Zajíček, V. Adámek*

## Příklad 2:

Vypočítejte kvadratické momenty  $J_z, J_y, J_{z_1}, J_{z_2}$  a deviační momenty  $D_{yz}$  a  $D_{y_1 z_1}$  průřezu na obr. 1, je-li dán:  $a, \emptyset D, \emptyset d$ .

### Řešení:

Při řešení nejprve zaměřme pozornost na stanovení geometrických charakteristik plochy vůči souřadnicovým osám  $z$  a  $y$  s počátkem v bodě  $T$  – těžištěm celého průřezu. Polohu bodu  $T$  můžeme určit snadno intuitivně, protože tento bod leží na čtyřech osách symetrie vyšetřované geometrie. Poloha bodu  $T$  v systému  $z_1 y_1$  je tedy dána souřadnicemi  $T = [0.5a, 0.5a]$ . Ze symetrie průřezu vyplývají další důležité zákonitosti. Ve shodě s obr. 2 zřejmě platí, že

$$J_{z_2} = J_{y_2}, \quad D_{z_2 y_2} = 0 \quad \wedge \quad J_{z_3} = J_{y_3}, \quad D_{z_3 y_3} = 0. \quad (1)$$

Pokusme si nyní představit konstrukci Culmannovy kružnice pro svazek všech os procházejících bodem  $T$ . Budeme-li postupovat při konstrukci kružnice ve shodě s (1), zjistíme, že kružnice zdegeneruje v bod, který leží na ose kvadratických momentů. Z toho tedy vyplývá, že kvadratický moment k jakékoli ose ze svazku os, která prochází bodem  $T$ , je identický, tj.

$$J_{z_2} = J_{y_2} = J_{z_3} = J_{y_3} = \dots = J_z = J_y. \quad (2)$$

Z Culmannovy kružnice rovněž vyplývá, že deviační moment je nulový k jakýmkoliv dvěma navzájem kolmým osám z tohoto svazku os, tj. také pro

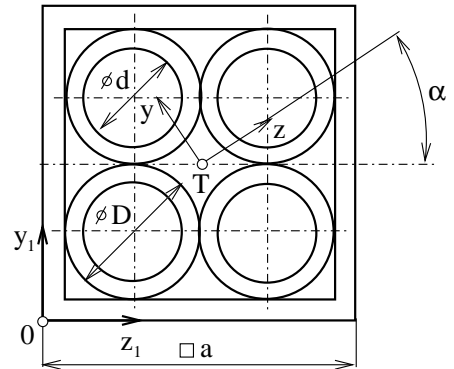
$$D_{z_2 y_2} = D_{z_3 y_3} = D_{z y} = 0. \quad (3)$$

Pro stanovení  $J_z$  si proto můžeme vybrat výpočet kvadratického momentu k libovolné jiné ose, ke které se bude výpočet provádět snadněji. Z hlediska pracnosti se jeví jako nejsnažší provést výpočet k ose  $z_2$  nebo  $y_2$ . Kvadratický moment k ose  $z_2$  pak vypočteme jako, viz obr. 2,

$$J_{z_2} = J_{z_{2S}} + 4J_{z_{2C}} = J_{z_{2S}} + 4 \left[ J_{z_{2K}} + A_K \left( \frac{D}{2} \right)^2 \right], \quad (4)$$

kde  $J_{z_{2S}}$ , resp.  $J_{z_{2C}}$ , je kvadratický moment dutého čtvercového průřezu, resp. mezikruhového průřezu, k ose  $z_2$ . Kvadratický moment  $J_{z_{2C}}$  stanovíme aplikací Steinerovy věty ze znalosti kvadratického momentu  $J_{z_{2K}}$  mezikruhového průřezu k ose  $z_{2K}$  a plochy  $A_K$  mezikruží. Po dosazení dostaneme

$$J_{z_2} = \frac{1}{12} [a^4 - (2D)^4] + 4 \left[ \frac{\pi}{64} (D^4 - d^4) + \frac{\pi}{4} (D^2 - d^2) \left( \frac{D}{2} \right)^2 \right]. \quad (5)$$



Obr. 1

# GEOMETRICKÉ CHARAKTERISTIKY PRŮŘEZŮ

*Autoři: F. Plánička, M. Zajíček, V. Adámek*

Nyní proveděme výpočet kvadratických momentů a deviačního momentu k osám  $z_1, y_1$ . Podle obr. 1 zřejmě platí, že

$$J_{z_1} = J_{y_1}. \quad (6)$$

K jejich výpočtu můžeme s výhodou využít znalosti  $J_{z_2}$  k centrální (těžištní) ose celého průřezu. Pomocí Steinerovy věty můžeme psát

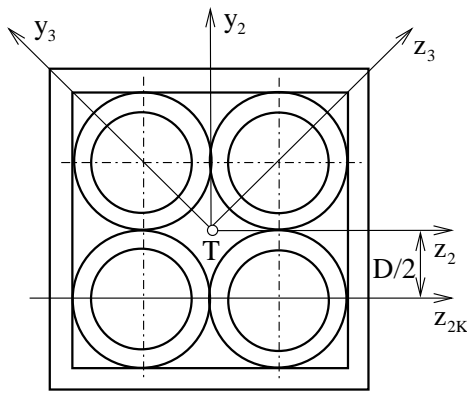
$$J_{z_1} = J_{z_2} + A \left( \frac{a}{2} \right)^2 = J_{z_2} + \left[ a^2 - (2D)^2 + 4 \frac{\pi}{4} (D^2 - d^2) \right] \left( \frac{a}{2} \right)^2, \quad (7)$$

kde  $A$  je velikost plochy celého průřezu. Obdobně budeme postupovat i v případě výpočtu deviačního momentu  $D_{z_1 y_1}$ , kde platí, viz (3),

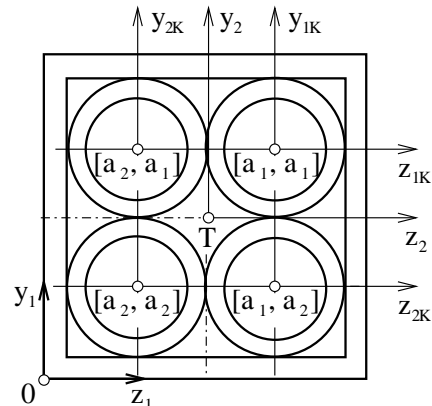
$$D_{z_1 y_1} = D_{z_2 y_2} + A \frac{a}{2} \frac{a}{2} = 0 + \left[ a^2 - (2D)^2 + 4 \frac{\pi}{4} (D^2 - d^2) \right] \frac{a^2}{4}. \quad (8)$$

Výpočet kvadratických charakteristik  $J_{z_1}$  a  $D_{z_1 y_1}$  můžeme provést i jinými postupy. Ukažme si jeden z nich. Celý průřez rozdělíme na geometricky jednodušší plochy, konkrétně na dutý čtvercový průřez o ploše  $A_S$  a 4 mezikruhové průřezy o plochách  $A_K$ . S ohledem na obr. 3 pak můžeme psát

$$\begin{aligned} J_{z_1} &= J_{z_{2S}} + A_S \left( \frac{a}{2} \right)^2 + 2 (J_{z_{1K}} + A_K a_1^2) + 2 (J_{z_{2K}} + A_K a_2^2) = \frac{1}{12} [a^4 - (2D)^4] + \\ &+ [a^2 - (2D)^2] \left( \frac{a}{2} \right)^2 + 2 \left[ \frac{\pi}{64} (D^4 - d^4) + \frac{\pi}{4} (D^2 - d^2) \left( \frac{D}{2} + D + \frac{a - 2D}{2} \right)^2 \right] + \\ &+ 2 \left[ \frac{\pi}{64} (D^4 - d^4) + \frac{\pi}{4} (D^2 - d^2) \left( \frac{D}{2} + \frac{a - 2D}{2} \right)^2 \right]. \end{aligned} \quad (9)$$



Obr. 2



Obr. 3

# GEOMETRICKÉ CHARAKTERISTIKY PRŮŘEZŮ

*Autoři: F. Plánička, M. Zajíček, V. Adámek*

Obdobně vypočteme deviační moment

$$\begin{aligned}
 D_{z_1y_2} &= D_{z_2y_2} + A_S \frac{a}{2} \frac{a}{2} + D_{z_1Ky_{1K}} + A_K a_1 a_1 + D_{z_2Ky_{2K}} + A_K a_2 a_2 + D_{z_1Ky_{2K}} + A_K a_1 a_2 + \\
 &+ D_{z_2Ky_{1K}} + A_K a_2 a_1 = A_S \frac{a^2}{4} + A_K (a_1^2 + 2a_1 a_2 + a_2^2) = A_S \frac{a^2}{4} + A_K (a_1 + a_2)^2 = \\
 &= [a^2 - (2D)^2] \frac{a^2}{4} + \frac{\pi}{4} (D^2 - d^2) \left[ \left( \frac{D}{2} + D + \frac{a-2D}{2} \right) + \left( \frac{D}{2} + \frac{a-2D}{2} \right) \right]^2, \quad (10)
 \end{aligned}$$

přičemž platí, že  $D_{z_2y_2} = D_{z_1Ky_{1K}} = \dots = D_{z_2Ky_{1K}} = 0$ . Po elementární úpravě dostaneme výraz ve tvaru (8).

Závěrem příkladu ještě podotkněme, že vztah (5) a vztahy (7) až (10) je možné a účelné dále upravit a zjednodušit. Došlo by však ke ztrátě názornosti, a proto nejsou úpravy výrazů provedeny.

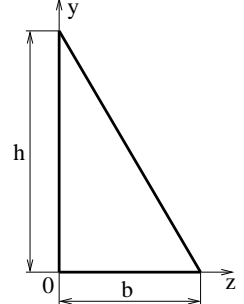
### Příklad 3:

Pro trojúhelníkový průřez  $h = 2b$  podle obr. 1 vypočítejte hlavní centrální kvadratické momenty a určete polohu hlavních os.

#### Řešení:

Při výpočtu použijeme následující postup:

- ve vhodně zvolené soustavě souřadnic  $z, y$  (obr. 1) vypočítáme kvadratické charakteristiky  $J_z, J_y$  a  $D_{yz}$ .
- vůči této soustavě souřadnic určíme polohu těžiště  $T$ , tj. jeho souřadnice  $z_T, y_T$ .
- vypočítáme centrální kvadratické charakteristiky  $J_{z_T}, J_{y_T}$  a  $D_{y_T z_T}$  využitím Steinerovy věty.
- ze znalosti centrálních kvadratických charakteristik vypočteme hlavní centrální kvadratické momenty  $J_I = J_{max}$  a  $J_{II} = J_{min}$ , nalezneme polohy hlavních centrálních os a zobrazíme Culmanovu (Mohrovu) kružnici kvadratických momentů.



Obr. 1

Na základě definičního vztahu pro kvadratický moment průřezu k ose  $z$  lze psát

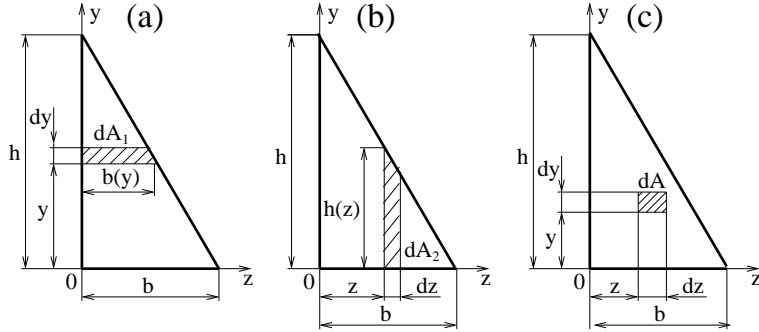
$$J_z = \int_A y^2 dA_1 = \int_0^h y^2 \frac{b}{h} (h-y) dy = \frac{b}{h} \int_0^h (hy^2 - y^3) dy = \frac{b}{h} \left[ h \frac{y^3}{3} - \frac{y^4}{4} \right]_0^h = \frac{bh^3}{12}, \quad (1)$$

přičemž  $dA_1 = b(y)dy$ , jak je vidět na obr. 2(a). Proměnný parametr  $b(y)$  snadno vyjádříme z podobnosti trojúhelníků

$$\frac{b(y)}{h-y} = \frac{b}{h} \Rightarrow b(y) = \frac{b}{h}(h-y).$$

## GEOMETRICKÉ CHARAKTERISTIKY PRŮŘEZŮ

*Autoři: F. Plánička, M. Zajíček, V. Adámek*



Obr. 2

Analogicky stanovíme kvadratický moment k ose  $y$  jako

$$J_y = \int_A z^2 dA_2 = \int_0^b z^2 \frac{h}{b} (b - z) dz = \frac{hb^3}{12}, \quad (2)$$

jestliže jsme v tomto případě využili vztahu, obr. 2(b),

$$dA_2 = h(z) dz = \frac{h}{b} (b - z) dz.$$

Deviační moment k osám  $y, z$  vypočteme na základě definičního vztahu jako

$$\begin{aligned} D_{yz} &= \int_A y z dA = \iint_A y z dy dz = \int_0^h \left( y \int_0^{b(y)} z dz \right) dy = \int_0^h \left( y \left[ \frac{z^2}{2} \right]_0^{b(y)} \right) dy = \\ &= \frac{1}{2} \int_0^h \left( \frac{b}{h} (h - y) \right)^2 y dy = \frac{b^2}{2h^2} \int_0^h (h^2 y - 2hy^2 + y^3) dy = \frac{b^2 h^2}{24}. \end{aligned} \quad (3)$$

V tomto případě byl diferenciál plochy  $dA = dy dz$  uvažován ve shodě s obr. 2(c). Deviační moment  $D_{yz}$  můžeme výhodně vypočítat také alternativním postupem. Uvažujme diferenciál plochy  $dA_1$  dle obr. 2(a), resp. diferenciál plochy  $dA_2$  dle obr. 2(b). Vzhledem k tomu, že proměnné  $y$  a  $z$  v definičním vztahu odpovídají poloze těžiště diferenciálu plochy (při zanedbání diferenciálů druhého rádu), lze definiční vztah psát v následujících tvarech

$$D_{yz} = \int_A y \frac{b(y)}{2} dA_1 = \int_0^h y \frac{b(y)}{2} b(y) dy = \frac{1}{2} \int_0^h y b(y)^2 dy, \quad (4)$$

$$D_{yz} = \int_A z \frac{h(z)}{2} dA_2 = \int_0^b z \frac{h(z)}{2} h(z) dz = \frac{1}{2} \int_0^b z h(z)^2 dz. \quad (5)$$

Tímto postupem se lze vyhnout jedné integraci, srov. (3) a (4).

Pro určení kvadratických charakteristik k těžištním (centrálním) osám rovnoběžných se souřadnicovými osami  $y, z$  musíme nejprve znát polohu těžiště  $T$  trojúhelníku. Je obecně známo, že v tomto případě je těžiště v jedné třetině jeho výšky, tj. platí

$$z_T = \frac{b}{3}, \quad y_T = \frac{h}{3}, \quad (6)$$

## GEOMETRICKÉ CHARAKTERISTIKY PRŮŘEZŮ

*Autoři: F. Plánička, M. Zajíček, V. Adámek*

viz obr. 3. Přesto si na tomto místě ukažme obecný postup výpočtu polohy těžiště alespoň jedné ze souřadnic, např.  $y_T$ . Lineární moment k ose  $z$  je

$$U_z = Ay_T = \int_A y \, dA_1 = \int_0^h yb(y)dy = \int_0^h y \frac{b}{h}(h-y)dy = \frac{b}{h} \int_0^h (hy - y^2)dy = \frac{bh^2}{6}. \quad (7)$$

Plochu  $A$  vypočteme z definice jako

$$A = \int_A dA_1 = \int_0^h b(y)dy = \frac{b}{h} \int_0^h (h-y)dy = \frac{bh}{2}. \quad (8)$$

V obou případech byl uvažován diferenciál plochy ve shodě s obr. 2(a). Po vyjádření  $y_T$  ze (7) a dosazením za lineární moment a plochu dostáváme

$$y_T = \frac{bh^2/6}{bh/2} = \frac{h}{3}.$$

Obdobně se vypočítá souřadnice  $z_T$  pomocí lineárního momentu k ose  $y$ .

Kvadratické momenty a deviační moment k centrálním osám  $z_T$  a  $y_T$ , obr. 3, které jsou rovnoběžné s osami  $z$  a  $y$ , vypočteme pomocí Steinerovy věty

$$\begin{aligned} J_{z_T} &= J_z - Ay_T^2 = \frac{bh^3}{12} - \frac{bh}{2} \left(\frac{h}{3}\right)^2 = \frac{bh^3}{36}, \quad J_{y_T} = J_y - Az_T^2 = \frac{hb^3}{12} - \frac{bh}{2} \left(\frac{b}{3}\right)^2 = \frac{hb^3}{36}, \\ D_{z_T y_T} &= D_{zy} - Az_T y_T = \frac{b^2 h^2}{24} - \frac{bh}{2} \frac{b}{3} \frac{h}{3} = -\frac{b^2 h^2}{72}. \end{aligned} \quad (9)$$

Vezmeme-li v úvahu konkrétní rozměry trojúhelníku ze zadání, můžeme vztahy z (9) přepsat, např. pomocí parametru  $b$ , jako

$$J_{z_T} = \frac{b(2b)^3}{36} = \frac{2b^4}{9}, \quad J_{y_T} = \frac{2bb^3}{36} = \frac{b^4}{18}, \quad D_{z_T y_T} = -\frac{b^2(2b)^2}{72} = -\frac{b^4}{18}. \quad (10)$$

Nyní již můžeme vypočítat hlavní centrální kvadratické momenty podle vztahu

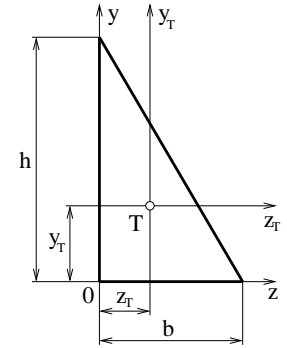
$$J_{max/min} = \frac{J_{z_T} + J_{y_T}}{2} \pm \sqrt{\left(\frac{J_{z_T} - J_{y_T}}{2}\right)^2 + (D_{z_T y_T})^2}. \quad (11)$$

Dosazením do tohoto vztahu z (10) a po úpravě dostáváme

$$J_{max} = \frac{5 + \sqrt{13}}{36} b^4 \doteq 0.239 b^4, \quad J_{min} = \frac{5 - \sqrt{13}}{36} b^4 \doteq 0.039 b^4. \quad (12)$$

Polohu hlavních centrálních os určíme pomocí úhlu

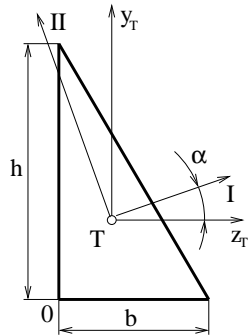
$$\alpha = \frac{1}{2} \arctan \left| \frac{2D_{z_T y_T}}{J_{z_T} - J_{y_T}} \right| = \frac{1}{2} \arctan \left| \frac{-2 \frac{b^4}{18}}{\frac{2b^4}{9} - \frac{b^4}{18}} \right| = \frac{1}{2} \arctan \frac{2}{3} \doteq 16.8^\circ, \quad (13)$$



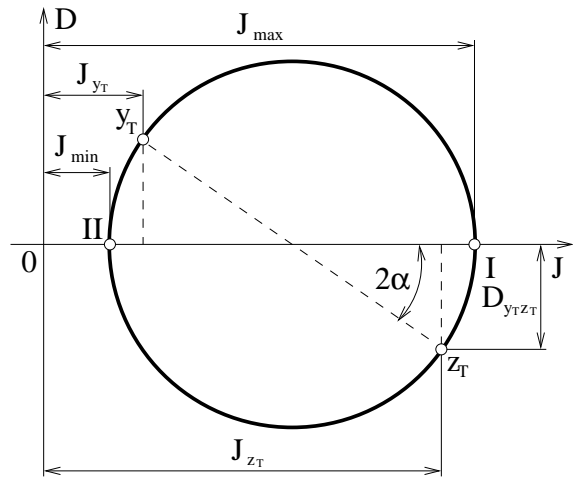
Obr. 3

## GEOMETRICKÉ CHARAKTERISTIKY PRŮŘEZŮ

*Autoři: F. Plánička, M. Zajíček, V. Adámek*



Obr. 4



Obr. 5

který svírá osa maximálního kvadratického momentu  $I$  s výchozí osou  $z_T$ , ( $J_{z_T} > J_{y_T}$ ). Osa  $I$  musí navíc s ohledem na velikost deviačního momentu ( $D_{z_T y_T} < 0$ ) procházet prvním a třetím kvadrantem, které jsou vymezeny souřadnicovými osami  $z_T$  a  $y_T$ . Poloha hlavních centrálních os je potom vidět na obr. 4. Připomeňme ještě, že smysl vynášení úhlu v Culmannově kružnici je shodný se smyslem vynášení úhlu mezi jednotlivými, navzájem pootočenými, souřadnicovými systémy, viz obr. 4 a obr. 5.